

В.А. Городничев, В.И. Козинцев, А.Ф. Сильницкий

ЛИДАР НА ОСНОВЕ ПАРАМЕТРИЧЕСКОГО ГЕНЕРАТОРА СВЕТА ДЛЯ ОПРЕДЕЛЕНИЯ АТМОСФЕРНЫХ ЗАГРЯЗНЕНИЙ

Приведены результаты экспериментальных исследований, направленных на повышение выходных характеристик параметрического генератора света (ПГС) на кристалле селенида кадмия с накачкой излучением лазера на иттрий-эрбий-алюминиевом гранате.

На основе ПГС разработан, изготовлен и испытан экспериментальный образец лидара дифференциального поглощения (ДП). Определена зависимость коэффициента вариации соотношения сигналов на выходе приемника и передатчика лидара от числа усредняемых измерений на трассе зондирования длиной 80 м. Проведена оценка доверительной границы случайной составляющей погрешности дистанционного определения концентрации загрязняющих атмосферу газов методом ДП.

Ряд токсичных газов [1] в окне прозрачности атмосферы 8—13 мкм имеют характерные полосы поглощения. Уже была подтверждена высокая чувствительность метода дифференциального поглощения в ИК-области спектра при использовании в лидарах перестраиваемых CO₂-лазеров [2—4]. Однако ограниченная область перестройки длины волн этих лазеров не позволяет проводить газовый анализ веществ, имеющих наиболее интенсивные линии поглощения в области спектра 8—9 мкм. Цель настоящей работы заключалась в разработке лидара на основе параметрического генератора света (ПГС), перестраиваемого в области спектра, недоступной для молекулярных газовых лазеров.

Из существующих перестраиваемых ИК-лазеров диапазон длин волн от 8 до 13 мкм и далее может быть полностью перекрыт с помощью полупроводниковых лазеров. Но лазеры этого типа имеют небольшую выходную мощность, это затрудняет их применение в лидарах. ПГС по сравнению с другими ИК лазерами сочетают большой диапазон перестройки с высокой выходной мощностью и узкой линией генерации [5]. Продвижение в область длин волн более 3,7 мкм долго сдерживалось отсутствием высококачественных нелинейных кристаллов и надежных лазеров с длиной волны 2—3 мкм. Благодаря созданию лазера на иттрий-эрбий-алюминиевом гранате ($\lambda = 2,94$ мкм) [6—8] и разработке новой технологии выращивания монокристаллов селенида кадмия из паровой фазы с применением сапфировых световодов стала реальная возможность создания ПГС с перестройкой в средней ИК-области спектра [9—11]. Отсутствие кросс-релаксационной деградации возбуждения у иттрий-эрбий-алюминиевого граната позволяет использовать в этих кристаллах концентрацию активатора до 100 вес. %. Малый коэффициент усиления ($0,05 \text{ см}^{-1}$ при накачке 100 Дж) хотя и приводит к достаточно высокому порогу генерации (~ 30 Дж), но позволяет реализовать режим генерации в моноимпульсе с одной поперечной модой и энергией ~ 100 мДж.

Резонатор лазера был оптимизирован для получения максимальной энергии в одномодовом режиме: длина резонатора составляла 750 мм, коэффициент отражения выходного зеркала был около 30% (двухзвенная сапфировая стопа), в качестве «глухого» было применено зеркало с медным покрытием. Для модуляции добротности использовался электрооптический затвор на кристалле ниобата лития. Длительность импульса генерации не превышала 100 нс. Водяное охлаждение не только активного элемента лазера и источника накачки (лампы ИФП 600-3), но и внешнего серебряного отражающего покрытия моноблока обеспечивало ресурс лазера при частоте 1 Гц, равный примерно $5 \cdot 10^5$ импульсам.

В ПГС использовались кристаллы селенида кадмия длиной ~ 60 мм, обладающие высокой однородностью и структурным совершенством. ПГС работал по однорезонаторной схеме с резонансом на короткой параметрической ветви. Резонатор ПГС был образован сферическим зеркалом радиусом ~ 1 м, через которое осуществлялась накачка, и плоским выходным зеркалом. Длина резонатора ПГС составляла 70 мм. Лучевая стойкость диэлектрических покрытий зеркал была около 20 МВт/см². Порог параметрической генерации не превышал 5 МВт/см². Недостаточная лучевая стойкость покрытий зеркал ограничивала ресурс ПГС, который был равен не менее $5 \cdot 10^3$ импульсам. Поворот зеркала вокруг оптической оси (ось зеркала была смешена относительно оси резонатора) позволял получать на ПГС до $5 \cdot 10^4$ импульсов. Указанное неудобство не существенно, хотя и усложняло проведение экспериментальных исследований лидара на основе ПГС.

В приемнике лидара использовался объектив диаметром 250 мм с фокусным расстоянием 750 мм. Регистрация сигналов на выходе ПГС и приемника лидара осуществлялась фотосопротивлением ФГС-22-ЗА2.

Диапазон перестройки длины волн излучения с использованием одного кристалла ограничен. Это связано с увеличением апертурных и френелевских потерь при больших углах поворота кристалла относительно оптической оси резонатора ПГС. Нами были проведены исследования, направленные на определение оптимальных углов ориентации оптической оси шестого порядка по отношению к про-

дольной оси кристалла (Θ_0). Минимальным числом кристаллов был перекрыт диапазон перестройки, равный 8–13 мкм. Результаты этих исследований (рис. 1) показали, что применение четырех кристаллов с углами Θ_0 , равными 71, 77, 81 и 90°, позволяет полностью перекрыть требуемый диапазон при незначительных углах поворота кристаллов (~ 10°). Мощность излучения равнялась 16 кВт при длительности импульса 60÷70 нс. На рис. 1 приведены также экспериментальные и расчетные значения длин волн излучения ПГС в коротковолновой ветви 3,8–4,6 мкм, в которой достигнута мощность излучения ПГС – 23 кВт. Перестроочные кривые сняты с помощью монохроматора ИКМ-1.

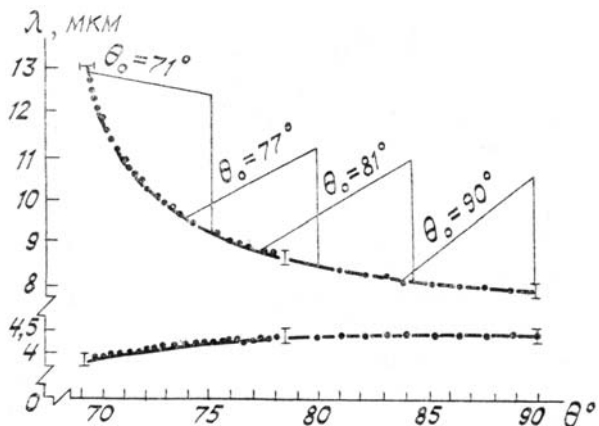


Рис. 1. Экспериментальные (точки) и теоретические (сплошные) перестроочные кривые ПГС (θ – угол между волновыми вектором излучения накачки и оптической осью кристалла. θ_0 – ориентация кристалла)

На рис. 2 приведена зависимость коэффициента вариации соотношения сигналов на выходе приемника и передатчика лидара от числа усредняемых измерений. В этих испытаниях приемником лидара регистрировались сигналы, отраженные от экрана из алюминиевого сплава АМЦ, который был установлен на расстоянии 80 м от лидара.

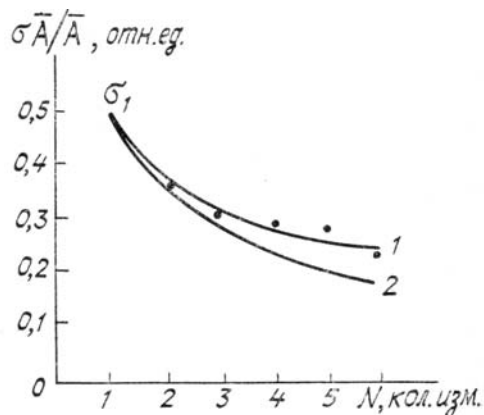


Рис. 2. Зависимость коэффициента вариации от числа усредняемых измерений (1 – экспериментальные значения, 2 – теоретические значения, равные σ_1/\sqrt{N})

Полученные результаты позволяют оценить доверительную границу случайной составляющей погрешности (ε) дистанционного определения концентрации загрязняющих газов методом дифференциального поглощения. Например, для дихлорэтана разность коэффициентов поглощения на длинах волн 8,1 и 8,5 мкм составляет – 3 см⁻¹ · атм⁻¹, ε при усреднении 6 измерений на каждой длине волны и доверительной вероятности 0,95 будет не более 1,9 · 10⁻⁵ · атм⁻¹ для длины трассы зондирования 80 м.

Таким образом, созданный лидар по сравнению с лидаром на основе CO₂-лазера позволяет расширить количество дистанционно определяемых загрязнений атмосферы и проводить анализ в воздухе ацетона, H₂S, N₂O, NO₂, N₂O₅, SO₂ и других веществ, имеющих интенсивные линии поглощения в области спектра 8–13 мкм.

1. Pierson R. H., Fletcher A. N., Clair Gantz E. St. //Anal. Chem. 1956. V. 28. P. 1218–1239.
2. Самохвалов И. В., Сосин А. В., Хмельницкий Г. С. //В кн.: Труды Всес. симпозиума «Радиофизические исследования атмосферы». Л.: Гидрометеоиздат. 1977. С. 78–82.

3. Marthinson B., Johanson J., Eng S.T. //Optical and QE. 1980. № 12. P. 327–334.
4. Killinger D.K., Menyuk N. //IEEE. 1981. V. 17. № 9. P. 1917–1929.
5. Фишер Р., Кулевский Л.А. //Квантовая электроника. 1977. Т. 4. № 2. С. 245–289.
6. Жариков Е.В., Жеков В.И., Кулевский Л.А. и др. //Квантовая электроника. 1974. Т. 1. № 8. С. 1867–1869.
7. Багдасаров Х.С., Данилов В.П., Жеков В.И. и др. //Квантовая электроника. 1978. Т. 5. № 1. С. 150–152.
8. Багдасаров Х.С., Жеков В.И., Лобачев В.А. и др. //Изв. АН СССР. Физика. 1982. Т. 46. № 18. С. 1496–1503.
9. Давыдов А.А., Кулевский Л.А., Прохоров А.М. и др. //Письма в ЖЭТФ. 1972. Т. 15. С. 725–727.
10. Кулевский Л.А. //УФН. 1981. Т. 134. Вып. 3. С. 535–541.
11. Городничев В.А., Давыдов А.А., Жильцов В.И. и др. //Электронная техника. Сер. 11. Лазерная техника и оптоэлектроника. 1984. Вып. 3 (29). С. 93–96.

Поступила в редакцию
4 августа 1988 г.

V.A. Gorodnichev, V.I. Kozintsev, A.F. Silnitsky. **Parametric Light Generator DIAL System for Monitoring Atmospheric Pollution.**

A $\text{Y}_3\text{Al}_5\text{O}_{12}: \text{Eu}^{3+}$ —laser — pumped CdSe parametric light generator with improved output characteristics was developed.

Its output power was –16 and 23 kW in the 8–13 and 3.8–4.6 μm range, respectively. Four CdSe crystals with different orientations provided a continuous wavelength tuning from 8 to 13 μm . The parametric light generator was employed in the design of a prototype DIAL system intended for a remote gas analysis of atmospheric pollutants along a 80 m path. The results obtained from testing the DIAL system are reported.